

Fig. 1

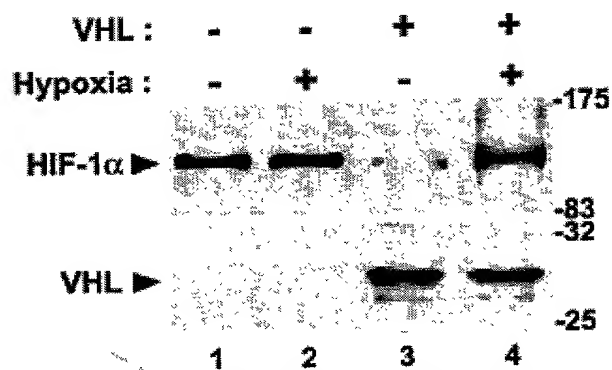


Fig. 2

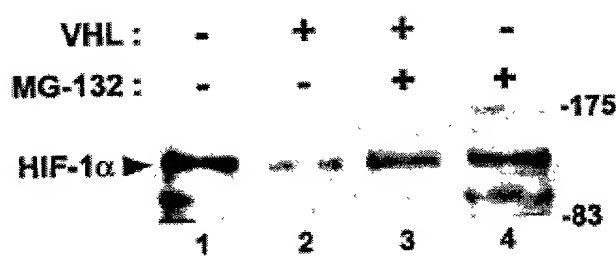


Fig. 3

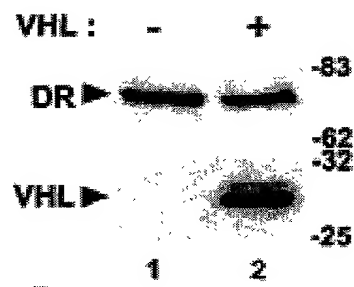


Fig. 4

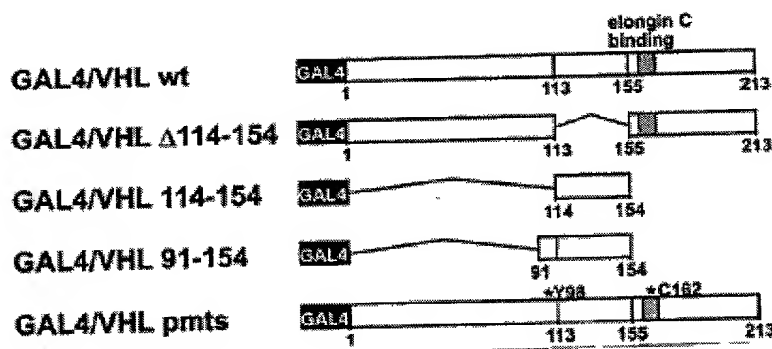


Fig. 5

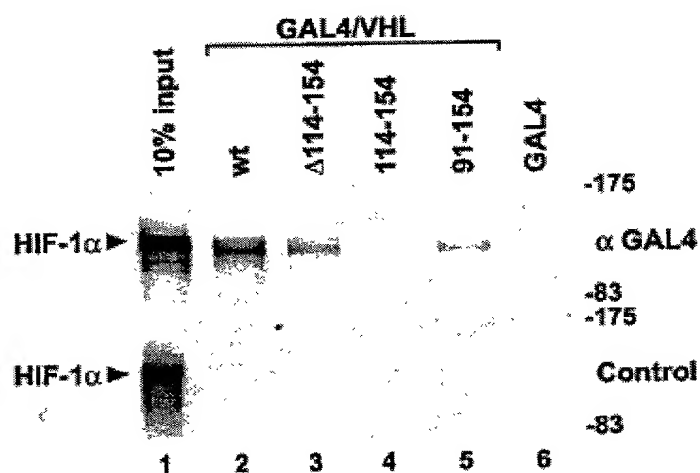


Fig. 6

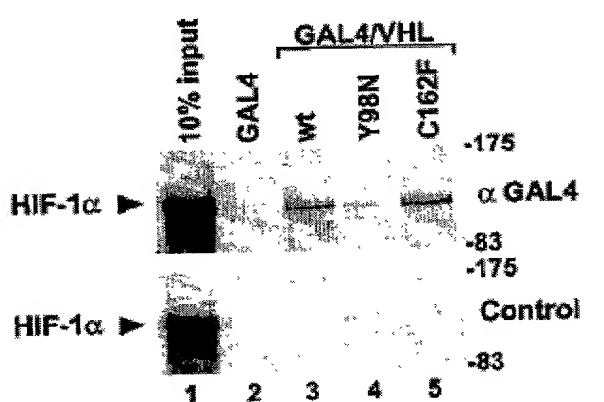


Fig. 7

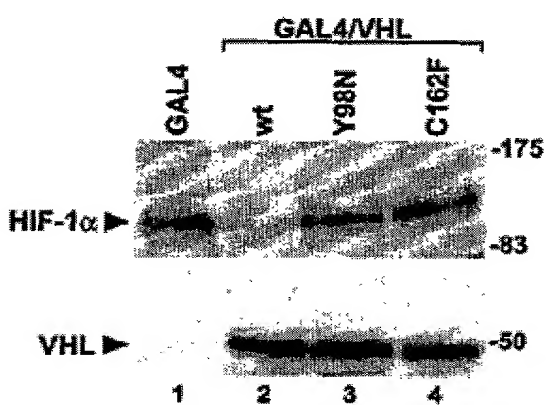


Fig. 8

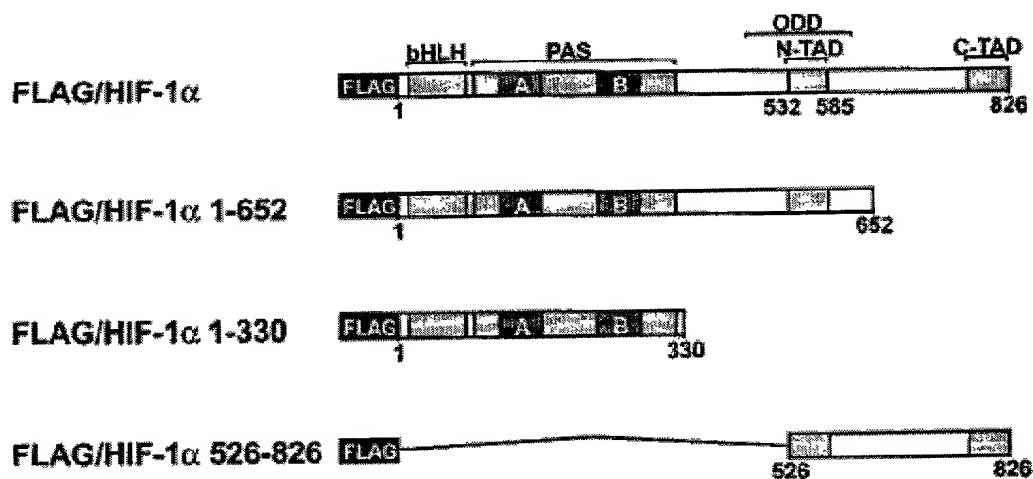


Fig. 9A

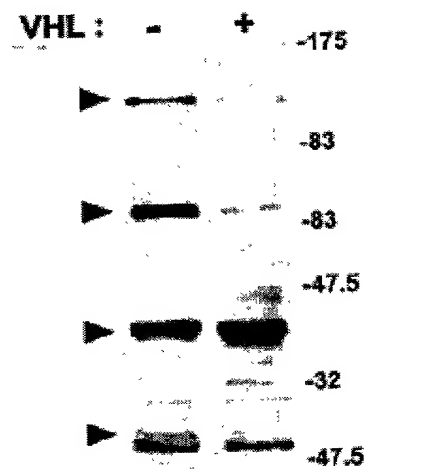


Fig. 9B

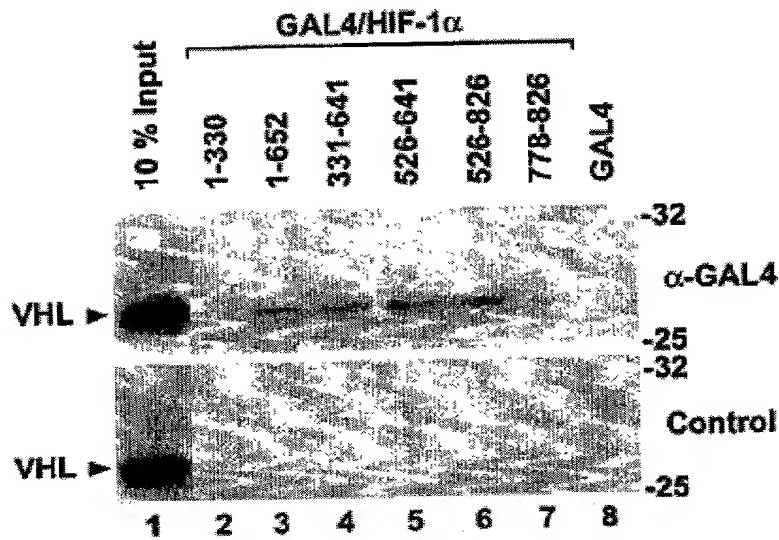


Fig. 10

mEPAS-1      <sup>522</sup> ELDLET<sup>541</sup>  
 hEPAS-1      <sup>523</sup> ELDLET<sup>542</sup>  
 mHIF-1 $\alpha$     <sup>555</sup> DLDLE<sup>573</sup>  
 hHIF-1 $\alpha$     <sup>556</sup> DLDLE<sup>574</sup>  
 hHIF-1 $\alpha$  mt                    DDD

Fig. 11

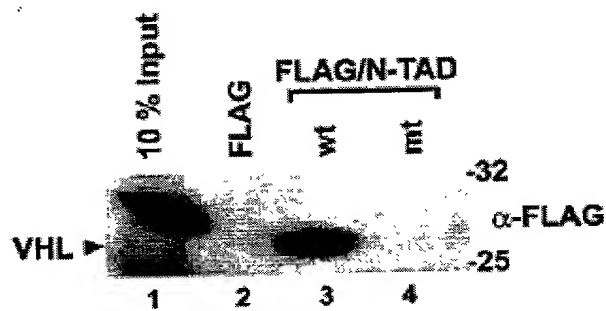


Fig. 12

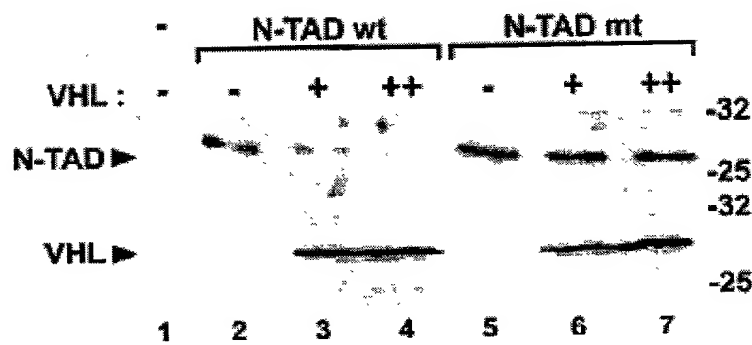
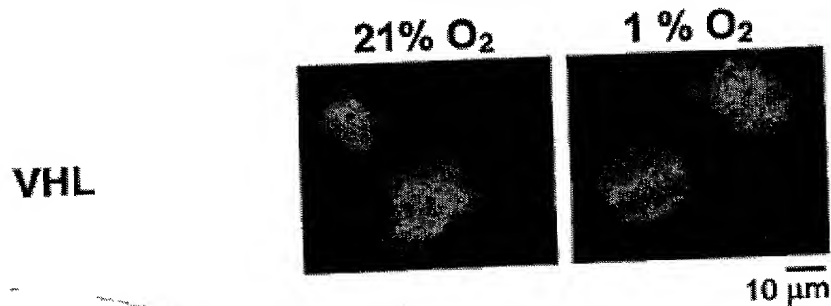
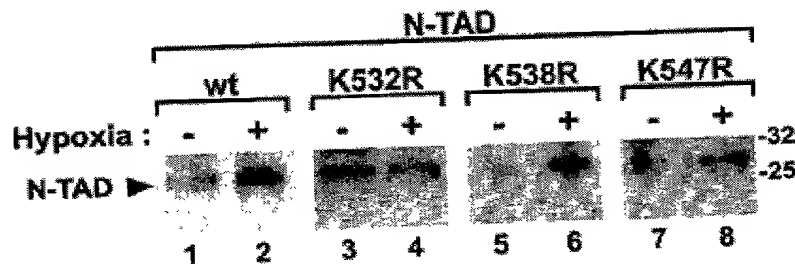
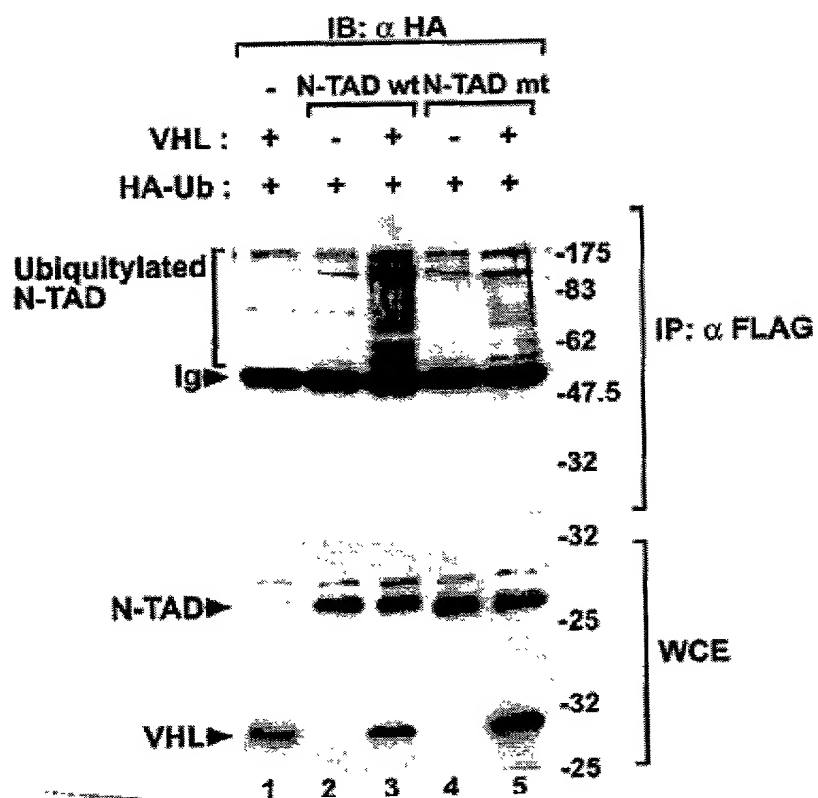


Fig. 13



6/11

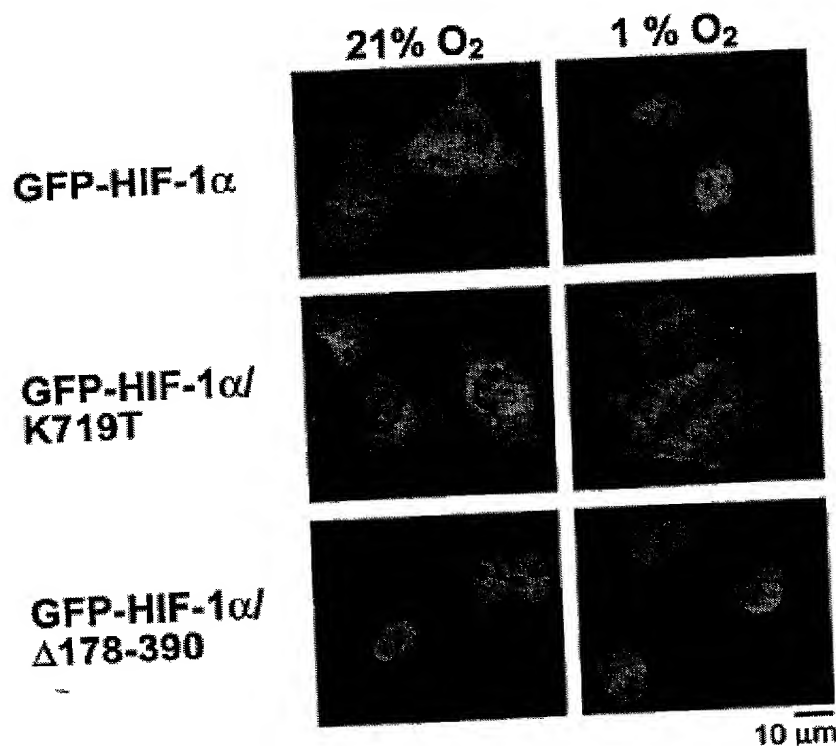


Fig. 17

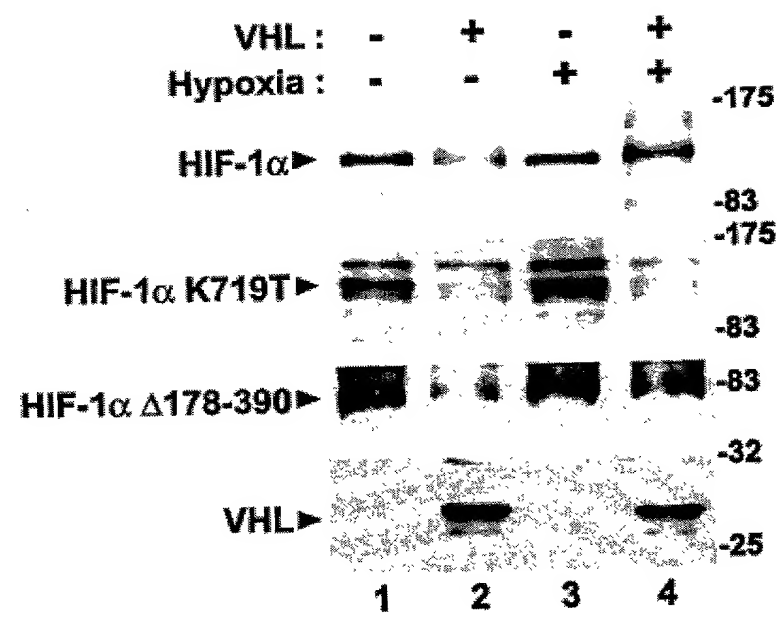


Fig. 18

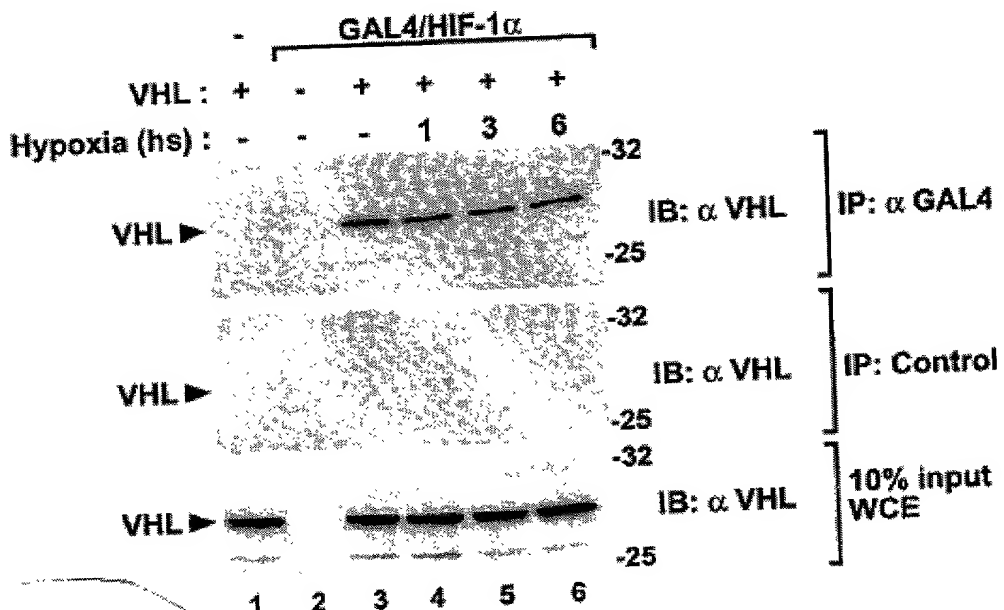


Fig. 19

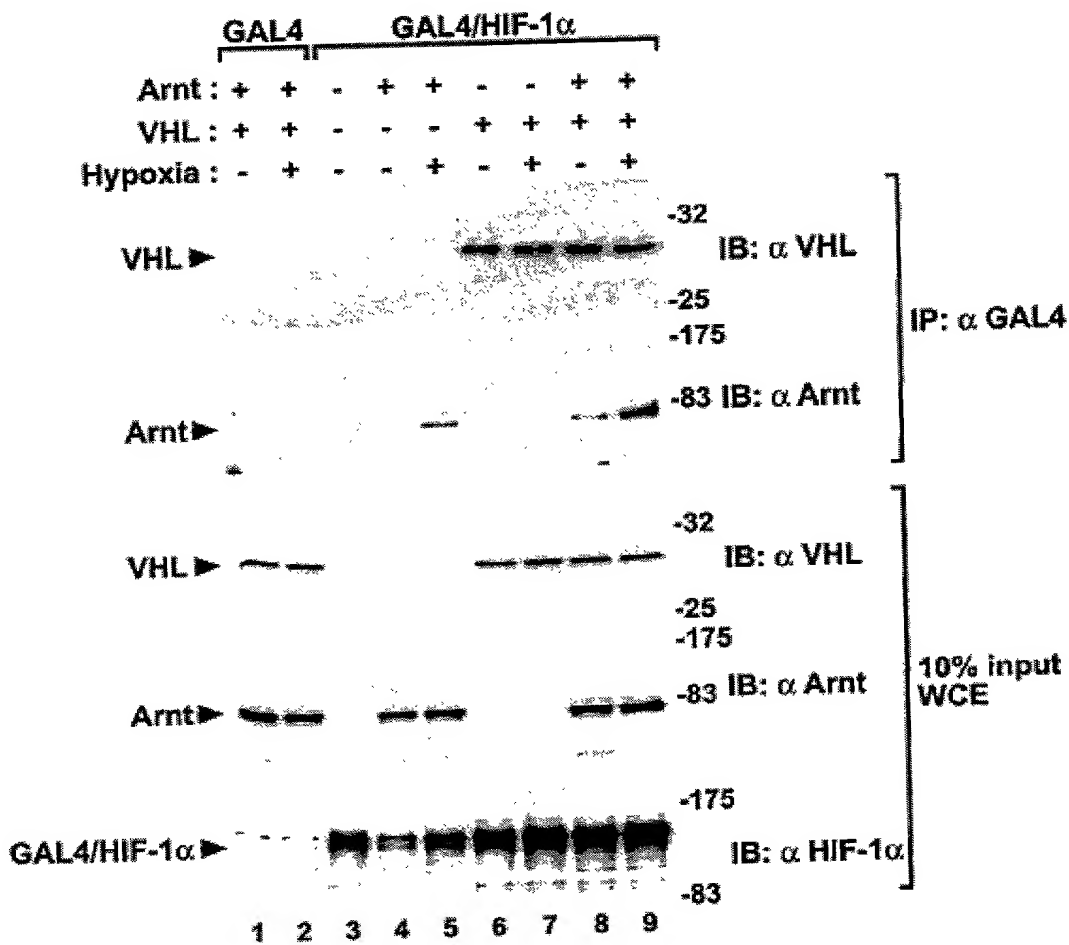


Fig. 20

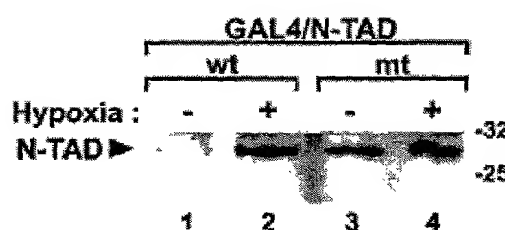


Fig. 21

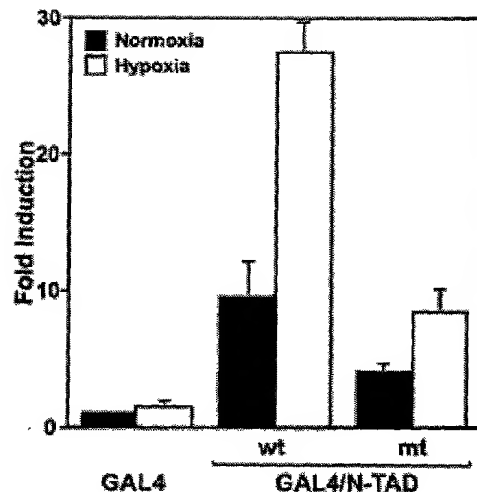


Fig. 22

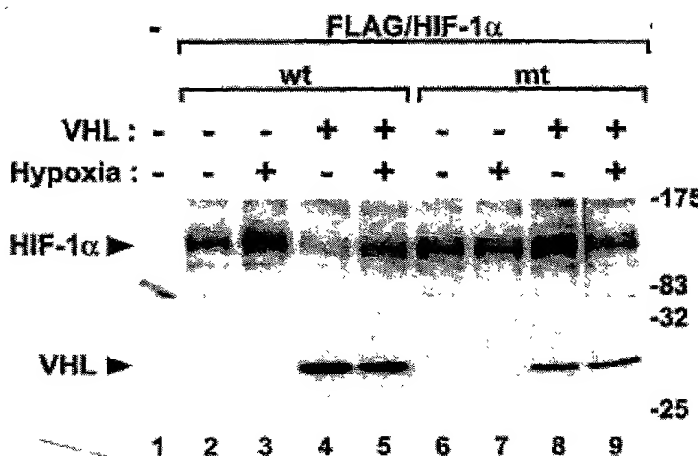


Fig. 23

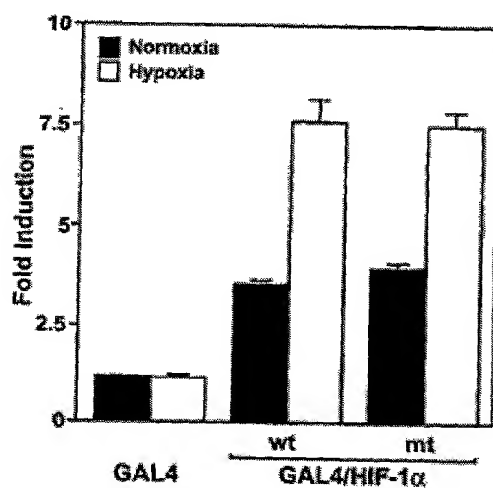


Fig. 24

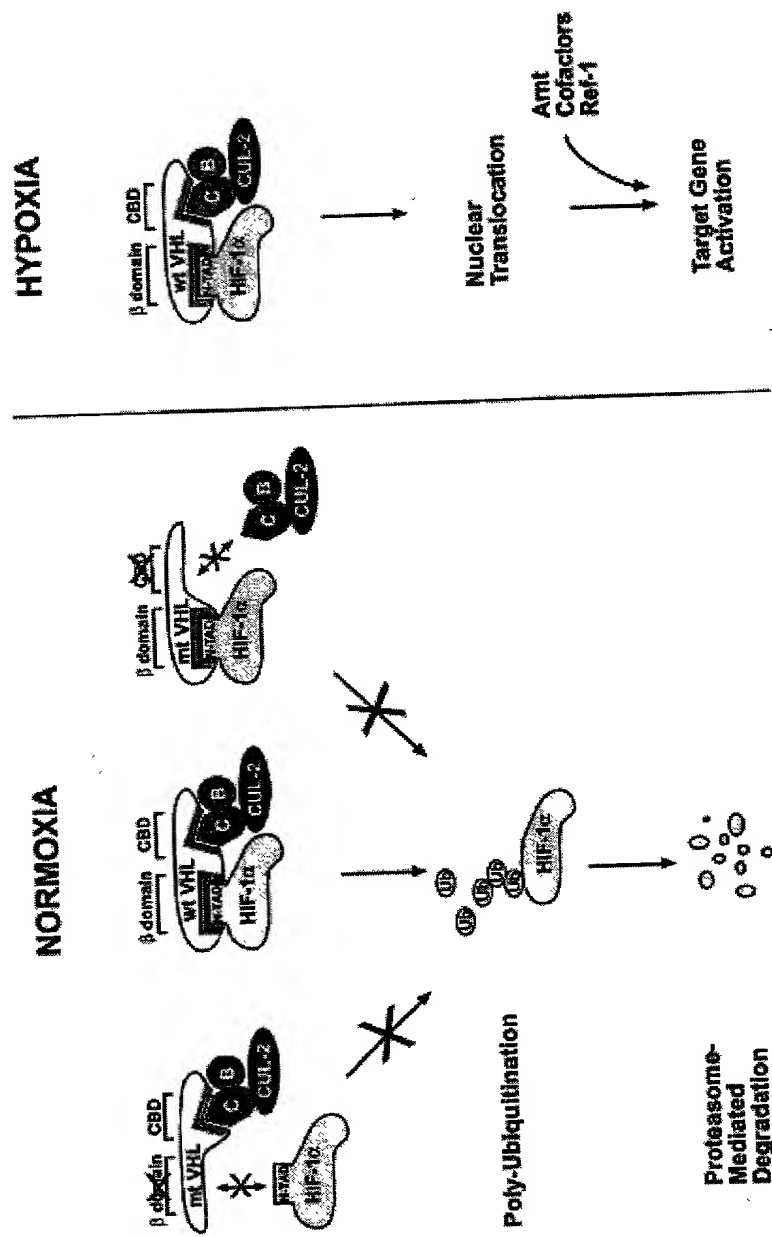


Fig. 25

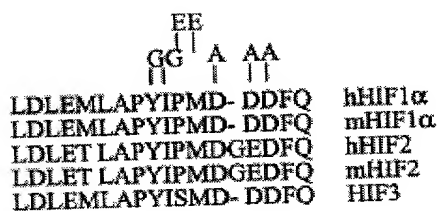


Fig. 26

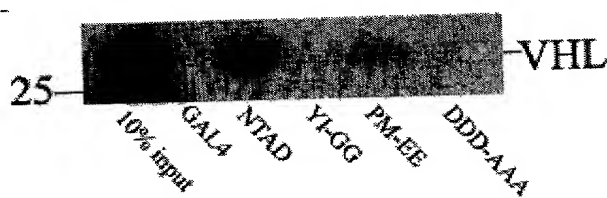


Fig. 27

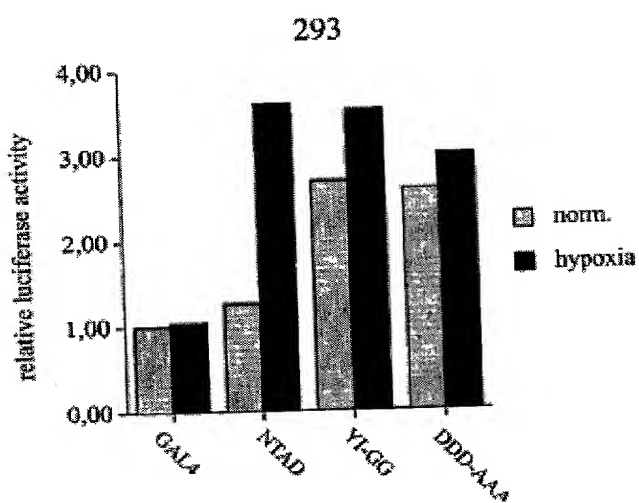


Fig. 28

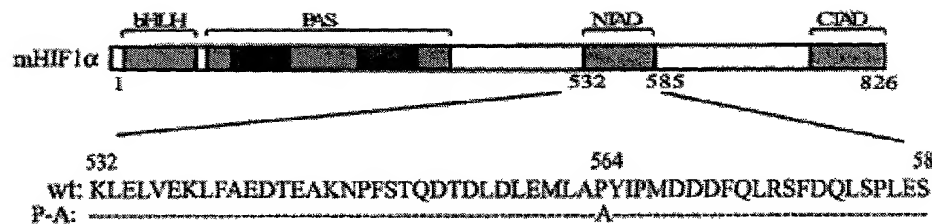


Fig. 29

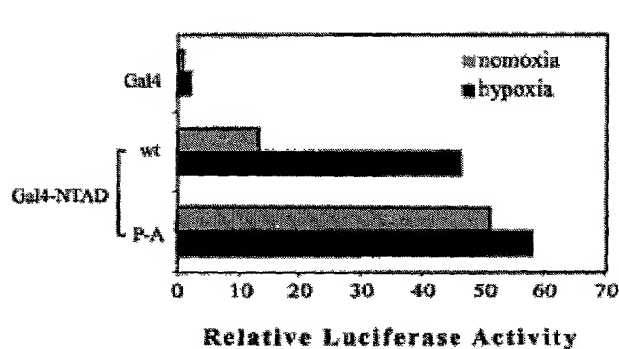


Fig. 30

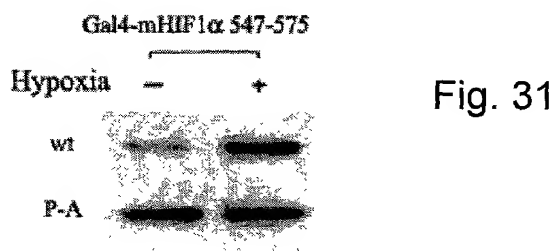


Fig. 31